

複素変数法と選点法の併用による有孔ばかりの解法

—特にキャストレーテッド・ビームの応力解析を対象として—

九州大学工学部 山崎徳也
九州大学工学部 つばめ義典 補

1. 序言

ウェブに六角形孔や八角形孔を有する、いわゆるキャストレーテッド・ビームは、近年我が国や欧米諸国においてビルや工場、歩道橋などの土木、建築構造物の質量化と大量生産による経済性を目的とした新工法として多用されている。このキャストレーテッド・ビームは、孔がはり高に比して小さければ、孔部分を单一孔を含む無限板として2次元弾性理論を用いて厳密に解析できるが、大きければ、はり全体をフレンチィール・トラスと見做してフレンチィール・トラスの近似解法¹⁾やモーナント分配法²⁾により近似的に解くことができる。しかし、実際には、孔の大きさに拘束なく、後者より近似解法を用い、形態上一義的要素として取上げるべき応力集中も当然無視されずそのまま計算設計されてくる。本論文は、かかる現状に鑑み、キャストレーテッド・ビームを含む一般性の孔を有するばかりの応力集中を考慮した理論解法を新たに提案し、有孔ばかりの合理的設計も可能ならしめんとするもので、ここでは等分布荷載、両端固定のキャストレーテッド・ビーム（図-1）を例としてその解法骨子を述べることとし、簡単な計算例により本法の適用性を示すことをとする。

2. 解法

(i) 解法の概説

本題のキャストレーテッド・ビームでは、構造および荷重の対称性よりはりの1/2部分を取り上げよ。図-3に示す

ごとく、はりも单一孔を含む孔周中心を通る断面で狭まれた9個のパネルに分り、各パネルについて孔縁と外縁の境界を

付式および隣接パネルとの連続条件式を満足する応力関数を決定すれば問題は解くことになる。孔縁の境界条件式はMuskhelishviliの複素変数法（complex variable method）の適用により完全に満足され、外縁の境界条件式および連続条件式は選点法（point-matching method）により近似的に満足される。

(ii) 対称関数

複素変数法の適用に当っては、孔の外部領域を半径Rの外部へ対称する関数を求めることが必要である。我が国で市販されているキャストレーテッド・ビームの標準タイプのは正六角形孔であるが、この正六角形孔に加えてここではさらに正八角形孔および製作可能な正方形孔についても対称関数を求めれば、いずれも共通の式で表わされる（図-2参照）。

$$Z = w(\zeta) = R(s + a_{m-1}\zeta^{-m+1} + a_{2m-1}\zeta^{2m+1}) \quad (1)$$

ここに、 $Z = \lambda r e^{i\theta}$ 、 $s = p \exp(i\theta)$ 、 (X, Y) は孔中心を原点とする直角座標、 (P, θ) は極座標、Rは孔の大きさを示す実数定数、mは孔の邊数を示すもので、 a_m は式(1)が $P = 1$ のとき孔縁

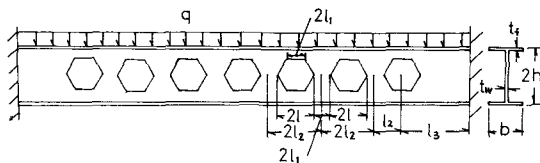


図-1 等分布荷載、両端固定のキャストレーテッド・ビームの諸元

を表わすこととく決定される実数係数である。

(iii) 応力、変位と応力関数との関係および応力関数の一般式

孔ハニカルにおいて応力関数を重(2), 王(2)とすれば、これらと直角座標における応力 $\sigma_x, \sigma_y, \tau_{xy}$ および変位 u_x, v_y との関係は次式で与えられる。

$$\sigma_x + \sigma_y = 4R\epsilon(\Psi(2)), \quad \sigma_y - \sigma_x + 2i\tau_{xy} = 2(\bar{\epsilon}\Psi(2) + \bar{\psi}(2)) \quad (2)_a$$

$$u_x + i v_y = \frac{1}{2\mu} (\kappa \Psi(2) - \bar{\epsilon} \bar{\Psi}(2) - \bar{\psi}(2)) \quad (3)_a$$

ここに、 $R\epsilon$ 記号は(1)内の変数や関数の実数部を、
バー記号はその変数や関数の共役部をそれぞれ意味し、
カッコ内符号は(1)内の変数による微分を表わすもので、 κ はLaméの定数であり、 μ は材
の泊アンシビュとして次式で定義されるものである。

$$\kappa = (3-\nu)/(1+\nu)$$

式(2)a, (3)aの重(2), 王(2)に平面関数 $\psi = w(s)$ を適用すれば、応力関数は次式のことく表示
される。

$$\text{重}(2) = \Psi[w(s)] = \varphi(s), \quad \text{王}(2) = \Psi[w(s)] = \psi(s)$$

しかるとき、式(2)a, (3)aに与えられる応力および変位と応力関数との関係は次式に書き換える。

$$\sigma_x + \sigma_y = +R\epsilon \left[\frac{\varphi'(s)}{w(s)} \right], \quad \sigma_y - \sigma_x + 2i\tau_{xy} = 2 \left[\frac{\bar{\epsilon}w(s)}{w(s)} \left\{ \frac{\varphi'(s)}{w(s)} \right\}' + \frac{\psi'(s)}{w(s)} \right] \quad (2)_b$$

$$u_x + i v_y = \frac{1}{2\mu} \left[\kappa \varphi(s) - \frac{w(s)}{w(s)} \varphi'(s) - \psi(s) \right] \quad (3)_b$$

さらに、直角座標における応力および変位と変換座標における応力 $\sigma_p, \sigma_\theta, \tau_{p\theta}$ および変位 u_p, v_θ と
れの関係は次式で与えられる。

$$\begin{aligned} \sigma_p + \sigma_\theta &= \sigma_x + \sigma_y, \quad \sigma_\theta - \sigma_p + 2i\tau_{p\theta} = \frac{s^2 w(s)}{\mu^2 w(s)} (\sigma_y - \sigma_x + 2i\tau_{xy}) \\ u_p + i v_\theta &= \frac{s w(s)}{\mu^2 w(s)} (u_x + i v_y) \end{aligned}$$

したがって、変換座標における応力および変位と応力関数との関係は次式のことくえられる。

$$\sigma_p + \sigma_\theta = +R\epsilon \left[\frac{\varphi'(s)}{w(s)} \right], \quad \sigma_\theta - \sigma_p + 2i\tau_{p\theta} = \frac{2s^2}{\mu^2 w(s)} \left(\bar{\epsilon} \frac{w(s)}{w(s)} \left\{ \frac{\varphi'(s)}{w(s)} \right\}' + \psi'(s) \right) \quad (2)_c$$

$$u_p + i v_\theta = \frac{1}{2\mu} \frac{s w(s)}{\mu^2 w(s)} \left[\kappa \varphi(s) - \frac{w(s)}{w(s)} \varphi'(s) - \psi(s) \right] \quad (3)_c$$

式(2)b, (3)bおよび(2)c, (3)cにおいて、応力関数 $\varphi(s), \psi(s)$ はそれを由次式で仮定される。

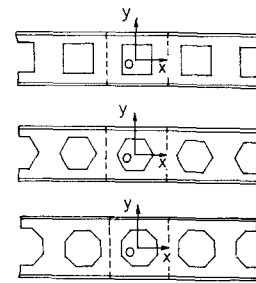
$$\begin{aligned} \varphi(s) &= \varphi_0(s) + \varphi_1(s) = \sum_{k=0}^K B_k s^k + \sum_{k=1}^K b_k s^{-k} \\ \psi(s) &= \psi_0(s) + \psi_1(s) = \sum_{k=0}^K C_k s^k + \sum_{k=1}^K c_k s^{-k} \end{aligned} \quad (4)$$

式(4)に含まれる B_k, b_k, C_k, c_k および φ_0 は、孔縁と外縁の境界条件式および隣接ハニカルとの連続条件式より決定される複素数係数である。

(iv) 孔縁の境界条件式および応力関数の係数の関係

キャストレーテッド・ビームの孔縁上に、パイプなどが通っている場合を除いて通常何らの外力も作用していないとする、いま $\sigma_p = \tau_{p\theta} = 0$ として孔ハニカルの孔縁における境界条件式として次式が成立する。

$$\psi(s) + \frac{w(s)}{\bar{\omega}(s)} \varphi'(s) + \bar{\psi}(s) = 0 \quad (5)$$



ここに、 $\sigma = (\zeta)_{p=1} = \exp(i\theta)$

式(5)に式(4)を代入して次式をうる。

$$\varphi_0(\sigma) + \varphi_1(\sigma) + \frac{\omega(\sigma)}{\omega(\sigma)} [\overline{\varphi_1(\sigma)} + \overline{\varphi_0(\sigma)}] + \overline{\psi_0(\sigma)} + \overline{\psi_1(\sigma)} = 0 \quad (6)a$$

式(6)aの両辺に $1/2\pi i(\sigma - \zeta)$ を乘じCauchyの定理を用いて単位円より外に積分すれば、各項はともに次のとく算定される。

$\varphi_0(\sigma)$ の項：式(4)を考慮して

$$\frac{1}{2\pi i} \int \frac{\varphi_0(\sigma)}{\sigma - \zeta} d\sigma = \frac{1}{2\pi i} \int \left(\sum_{k=0}^K B_k \sigma^k \right) \frac{d\sigma}{\sigma - \zeta} = 0 \quad (7)a$$

$\varphi_1(\sigma)$ の項：同じく式(4)を適用して

$$\frac{1}{2\pi i} \int \frac{\varphi_1(\sigma)}{\sigma - \zeta} d\sigma = \frac{1}{2\pi i} \int \left(\sum_{k=1}^K b_k \sigma^k \right) \frac{d\sigma}{\sigma - \zeta} = -\varphi_1(\zeta) \quad (7)b$$

$\frac{\omega(\sigma)}{\omega(\sigma)} \overline{\varphi_0(\sigma)}$ の項：式(1)で示された導体関数を

$$Z = \omega(\zeta) = R \left(\zeta + \sum_{n=1}^N a_n \zeta^n \right) \quad (8)$$

ここに、 a_n ：一般的1次元素数の係数

と表わせば、次式がえられる。

$$\frac{\omega(\sigma)}{\omega(\sigma)} = \sum_{j=0}^{\infty} e_j \sigma^{j+N} \quad (9)$$

ここに、係數 e_j は次式より算定される。

$$a_{N+j} = e_j - \sum_{f=1}^{j-1} j \bar{a}_f e_{j-f} \quad (10)$$

一方、式(4)より次式をうる。

$$\overline{\varphi_1(\sigma)} = \sum_{k=1}^K k \bar{B}_k \sigma^{-(k-1)} \\ \rightarrow \text{7}, \quad \frac{\omega(\sigma)}{\omega(\sigma)} \overline{\varphi_1(\sigma)} = \sum_{j=0}^{\infty} e_j \sigma^{j+N} \times \sum_{k=1}^K k \bar{B}_k \sigma^{-(k-1)} = \sum_{p=0}^{N+k-1} F_p \sigma^p + \sum_{p=1}^{\infty} G_p \sigma^p \quad (11)$$

ここに、係數 F_p , G_p は次式より \bar{e}_j と未定係数 B_k の関数として求める。

$$F_p = \sum_{r=1}^p r e_{N+r-p-1} \bar{B}_r \quad (12)$$

$$G_p = \sum_{r=1}^{N+p-1} r e_{N+r-p-1} \bar{B}_r \quad (13)$$

$$\text{よし7, } \frac{1}{2\pi i} \int \frac{\omega(\sigma)}{\omega(\sigma)} \overline{\varphi_1(\sigma)} \frac{d\sigma}{\sigma - \zeta} = \frac{1}{2\pi i} \int \left(\sum_{p=0}^{N+k-1} F_p \sigma^p + \sum_{p=1}^{\infty} G_p \sigma^p \right) \frac{d\sigma}{\sigma - \zeta} = - \sum_{p=1}^{N+k-1} F_p \zeta^{-p} \\ \frac{\omega(\sigma)}{\omega(\sigma)} \overline{\varphi_1(\sigma)}$$

の項：式(4)より

$$\overline{\varphi_1(\sigma)} = - \sum_{k=1}^K k \bar{B}_k \sigma^{k+1}$$

これが式(1)より次式がえられる。

$$\frac{\omega(\sigma)}{\omega(\sigma)} \overline{\varphi_1(\sigma)} = \sum_{j=0}^{\infty} e_j \sigma^{j+N} \left(- \sum_{k=1}^K k \bar{B}_k \sigma^{k+1} \right) = - \left(\sum_{p=0}^{N-2} f_p \sigma^p + \sum_{p=1}^{\infty} g_p \sigma^p \right) \quad (14)$$

ここに、係數 f_p , g_p は次式のごとく e_j と未定係數 b_k の関数である。

$$f_p = \sum_{r=1}^{N-p-1} r e_{N+r-p-1} \bar{B}_r \quad (15)$$

$$g_p = \sum_{r=1}^{N+p-1} r e_{N+r-p-1} \bar{B}_r \quad (16)$$

$$\text{よし7, } \frac{1}{2\pi i} \int \frac{\omega(\sigma)}{\omega(\sigma)} \overline{\varphi_1(\sigma)} \frac{d\sigma}{\sigma - \zeta} = - \frac{1}{2\pi i} \int \left(\sum_{p=0}^{N-2} f_p \sigma^p + \sum_{p=1}^{\infty} g_p \sigma^p \right) \frac{d\sigma}{\sigma - \zeta} = \sum_{p=1}^{N-2} f_p \zeta^{-p} \quad (17)d$$

$\overline{\psi_0(\sigma)}$ の項：式(4)を考慮して

$$\frac{1}{2\pi i} \int \frac{\overline{\psi_0(\sigma)}}{\sigma - \zeta} d\sigma = \frac{1}{2\pi i} \int \left(\sum_{k=1}^K \bar{C}_k \sigma^k \right) \frac{d\sigma}{\sigma - \zeta} = - \sum_{k=1}^K \bar{C}_k \zeta^{-k} \quad (17)e$$

$\overline{\psi_1(\sigma)}$ の項：同様に

$$\frac{1}{2\pi i} \int \frac{\overline{\psi_1(\sigma)}}{\sigma - \zeta} d\sigma = \frac{1}{2\pi i} \int \left(\sum_{k=1}^K \bar{C}_k \sigma^k \right) \frac{d\sigma}{\sigma - \zeta} = 0 \quad (17)f$$

したがって、式(7)a ∨ (7)f を用いて式(6)a の積分結果は次式のこととなる。

$$-\varphi_i(S) - \sum_{p=1}^{N+K-1} F_p S^{-p} + \sum_{p=1}^{K-2} f_p S^{-p} - \sum_{k=1}^K \bar{C}_k S^{-k} = 0$$

これより

$$\varphi_i(S) = \sum_{p=1}^{K-2} f_p S^{-p} - \sum_{p=1}^{N+K-1} F_p S^{-p} - \sum_{k=1}^K \bar{C}_k S^{-k}$$

上式と式(4)の $\varphi(S)$ において S の同一べき数の係数を比較することにより、次の方程式をうる。

$$b_k = \begin{cases} f_k - F_k - \bar{C}_k & , \quad k=1, 2, \dots, N-2 \\ -F_k - \bar{C}_k & , \quad k=N-1, N, \dots, K \end{cases} \quad (17)$$

式(12), (15)より F_k, f_k はそれを B_k, b_k の関数で表わさるゆえ、結局 C_k は式(17)より応力関数 $\varphi(S)$ の係数 B_k, b_k の関数として次式のことく求められる。

$$C_k = \begin{cases} \bar{f}_k - \bar{F}_k - \bar{b}_k & , \quad k=1, 2, \dots, N-2 \\ -\bar{F}_k - \bar{b}_k & , \quad k=N-1, N, \dots, K \end{cases} \quad (18)_a$$

次に、式(5)で与えられた境界条件式と共役式を考えれば、式(6)_aより直ちに次式をうる。

$$\overline{\varphi_0(\sigma)} + \overline{\varphi_1(\sigma)} + \frac{\omega(\sigma)}{\omega_0(\sigma)} [\varphi_0'(\sigma) + \varphi_1'(\sigma)] + \psi_0(\sigma) + \psi_1(\sigma) = 0 \quad (6)_b$$

式(6)_bの両辺に $1/2\pi i(\sigma-S)$ を乗じ、式(6)_aと同様に複素積分を行えば、結果は次式となる。

$$-\sum_{k=1}^K \bar{B}_k S^{-k} - \sum_{p=1}^{N+K-1} \bar{F}_p S^{-p} + \sum_{p=1}^{K-2} \bar{f}_p S^{-p} - \sum_{k=1}^K \bar{C}_k S^{-k} = 0$$

これより C_k の算式として次式をうる。

$$C_k = \bar{f}_k - \bar{G}_k - \bar{B}_k \quad , \quad k=1, 2, \dots, K \quad (18)_b$$

式(13), (18)_bより F_k, f_k はそれを B_k, b_k の関数として算定されたゆえ、式(18)_bは応力関数 $\varphi(S)$ の係数 B_k, b_k の関数として C_k を与えたものである。したがって、式(4)の応力関数は B_k, b_k だけが決定されることになる。

(V) 各パネルの応力関数および外縁の境界条件式と連続条件式

図-3に示すことく、 $(2n-1)$ の奇数孔を有するキャストレーテッド・ビームを n 個のパネルに分割するととき、各パネルの応力関数と外縁の境界条件式および隣接パネルとの連続条件式は次のとくなる。

(1) 中央パネル：このパネルは対称性より $1/2$ 部分と取扱えばよく、応力関数は次式のことく仮定される。

$$\left. \begin{aligned} \varphi(S_i) &= \sum_{k=1,3,5}^K B_{ik} S_i^k + \sum_{k=1,3,5}^K b_{ik} S_i^{-k} \\ \psi(S_i) &= \sum_{k=1,3,5} C_{ik} S_i^k + \sum_{k=1,3,5} C_{ik} S_i^{-k} \end{aligned} \right\} \quad (19)$$

いわゆる“換算杆高”(h^*)を導

入のうえ外縁の境界条件式を求めれば、上、下縁とも次のとくなる。

$$\text{上縁 } (y_1 = h^*) \text{において } \sigma_y = -q, \tau_{xy} = 0 \text{ なるゆえ } (\sigma_y + i\tau_{xy})_1 = -q \quad (20)_a$$

$$\text{下縁 } (y_1 = -h^*) \text{において } \sigma_y = \tau_{xy} = 0 \text{ なるゆえ } (\sigma_y + i\tau_{xy})_1 = 0 \quad (20)_b$$

$$\text{ここで, } h^* = h \sqrt{1 + 2bt_f/twh}$$

隣接パネルとの接合部、すなはち $i-1$ 界面においては、応力および変位の連続性より次式が成立する。

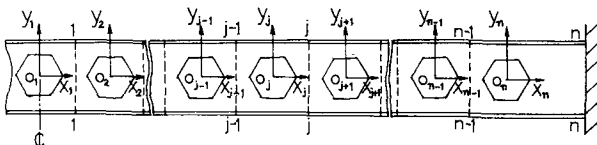


図-3 パネルと座標系

$$\left. \begin{aligned} x_1 = l_2 \text{ において } & (\sigma_x + \sigma_y)_1 = (\sigma_x + \sigma_y)_2, \quad (\sigma_x - i\tau_{xy})_1 = (\sigma_x - i\tau_{xy})_2 \\ & (u_x + iu_y)_1 = (u_x + iu_y)_2 \end{aligned} \right\} \quad (21)$$

(2) 仕切パネル(中央パネルと端パネルを除く)：オーバーパネルについては考えれば、このパネルの応力関数は次式で仮定される。

$$\left. \begin{aligned} \Psi(S_j) &= \sum_{k=0,1,2} B_{jk} S_j^k + \sum_{k=1,2,3} b_{jk} S_j^{-k} \\ \Psi(S_i) &= \sum_{k=0,1,2} C_{ik} S_i^k + \sum_{k=1,2,3} c_{ik} S_i^{-k} \end{aligned} \right\} \quad (22)$$

上、下縁の境界条件式としては、それを式(20)a, (20)b と同一式が成立し、隣接パネルとの接合部である $(j-1)-(j-1)$ 断面および $j-n$ 断面においても、式(21)と同様な式が成立する。

(3) 端パネル：オーバーパネルの応力関数は、仕切パネルにおりると同様に次式に与えられる。

$$\left. \begin{aligned} \Psi(S_n) &= \sum_{k=0,1,2} B_{nk} S_n^k + \sum_{k=1,2,3} b_{nk} S_n^{-k} \\ \Psi(S_1) &= \sum_{k=0,1,2} C_{nk} S_1^k + \sum_{k=1,2,3} c_{nk} S_1^{-k} \end{aligned} \right\} \quad (23)$$

上、下縁の境界条件式は前2者と同じ、式(20)で表わされ、隣接パネルとの接合部、すなはち $(n-1)-(n-1)$ 断面においては、式(21)と同様の連続条件式が成立する。

また、端部 $n-n$ 断面は固定されておりゆえ、 $l_3 \gg l_2, h$ とし、二ヶ所面において θ が直線変化、 τ_{xy} が試験線上に分布するものとして、次式が成立する。

$$\left. \begin{aligned} x_n = l_3 \text{ において } & (\sigma_x - i\tau_{xy})_n = M_c y_n / I - c \cdot g L (H^2 - y_n^2) / EI \\ & (u_x + iu_y)_n = 0 \end{aligned} \right\} \quad (24)$$

ここに、 M_c : 端エクランメント、 L : 1/2スパン、 I : $n-n$ 断面の断面2次モーメント

(vi) 応力関数の係数の決定

(v) により外縁の境界条件式および隣接パネルとの連続条件式がえられたが、これら各式に式(2)b, (3)b の関係式を用いて各応力関数を代入すれば、応力関数の係数 $B_{jk}, b_{jk}, C_{ik}, c_{ik}, B_{ik}, b_{ik}, C_{jk}, c_{jk}$ および $B_{nk}, b_{nk}, C_{nk}, c_{nk}$ は各孔縁の境界条件式よりえられる式(18) よりを用いて $B_{jk}, b_{jk}, B_{ik}, b_{ik}, C_{jk}, c_{jk}$ および B_{nk}, b_{nk} が表わされるゆえ、上記連立方程式は B_{jk}, b_{jk} のみに帰する方程式となる。この連立方程式を直接解くことは困難であるゆえ、著者らは外縁および接合部において例えば図-1-1に示すごとく、数個の点を選び、これらの点で近似的に満足できるいわゆる選点法を用いることを工夫し、もって応力関数の係数を決定することを可能ならしめた。

3. 計算例

2. で述べた複素変数法と選点法の併用による本法の適用性をうかがうため、図-1-1に示すごとく最も簡単な算例であ

る外縁に等分布荷重が作用する有孔正方形板について、孔縁に生ずる応力を求め既往の解と比較するところに、孔縁応力に及ぼす孔径および荷重状態の影響を考察することとする。

(i) 対称関数および応力関数

円孔(半径 a) の外部領域を単位円外へ写像する関数は、式(1)において $R = a$, $x_{m-1} = a_{2m-1} = 0$ と置いて 次式がえられる。

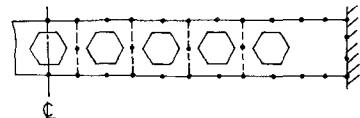


図-1-1 選点法の適用

$$Z = \omega(\zeta) = d\zeta \quad (25)$$

したがって、式(4)で仮定された応力関数の代りにこの関数として表すことができ、また、解析には荷重および構造の対称性より正方形板の1/4部分を計算すればよろしく、応力関数は次式のとく表示される。

$$\begin{aligned} \bar{\omega}(Z) &= \sum_{k=1,3,5}^K B_k Z^k + \sum_{k=1,3,5}^L b_k Z^k \\ \bar{\omega}(Z) &= \sum_{k=1,3,5}^K C_k Z^k + \sum_{k=1,3,5}^L c_k Z^k \end{aligned} \quad \left. \right\} \quad (26)$$

(ii) 応力関数の係数間の関係

応力関数 $\bar{\omega}(Z)$ の係数 C_k , c_k と応力関数 $\bar{\omega}(Z)$ の係数 B_k , b_k との関係を求めれば、式(18)を参照して次の結果が得られる。

$$\begin{aligned} C_k &= -b_k d^{-2k} - (k+2)B_{k+2}d^2, \quad k=1,3,5,\dots, K \\ c_k &= -2B_1d^2 \\ C_k &= -B_k d^{2k} + (k-2)b_{k-2}d^2, \quad k=3,5,7,\dots, L \end{aligned} \quad \left. \right\} \quad (27)$$

(iii) 外縁の境界条件式

対象とする1/4部分の側縁($x=a$)および上縁($y=a$)における境界条件式は、それぞれ次式で与えられる。

$$\begin{aligned} x=a \text{ において } \sigma_x - i\tau_{xy} &= T \\ y=a \text{ において } \sigma_y + i\tau_{xy} &= \lambda T \end{aligned} \quad \left. \right\}$$

したがって、式(27)を考慮のうえ、式(26)で仮定された応力関数を式(2)の関係式に適用すれば、応力 σ_x , σ_y , τ_{xy} が未定係数 B_k , b_k を含む関数として表され、結局外縁の境界条件式が次式のとくとなる。

$$\begin{aligned} x=a \text{ において } & 2B_1 \left\{ 1 + \left(\frac{d}{r}\right)^2 \cos 2\theta \right\} + \sum_{k=3,5}^K B_k \cdot kr^{-k-1} \left[2 \cos(k-1)\theta - (k-1) \sin(k-3)\theta + (k-2) \left(\frac{d}{r}\right)^2 \cos(k-3)\theta - \left(\frac{d}{r}\right)^2 \cos(k+1)\theta \right] \\ & + \sum_{k=1,3,5}^L b_k \cdot kr^{-(k+1)} \left[-2 \cos(k\theta) - (k+1) \sin(k\theta) + \left(\frac{d}{r}\right)^2 \cos(k-1)\theta + (k+2) \left(\frac{d}{r}\right)^2 \cos(k+3)\theta \right] = T \\ & - 2B_1 \left(\frac{d}{r}\right)^2 \sin 2\theta + \sum_{k=3,5}^K B_k \cdot kr^{k-1} \left[(k-1) \sin(k-3)\theta - (k-2) \left(\frac{d}{r}\right)^2 \sin(k-3)\theta - \left(\frac{d}{r}\right)^2 \sin(k+1)\theta \right] \\ & + \sum_{k=3,5}^L b_k \cdot kr^{-(k+1)} \left[-(k+1) \sin(k+3)\theta - \left(\frac{d}{r}\right)^2 \sin(k-1)\theta + (k+2) \left(\frac{d}{r}\right)^2 \sin(k+3)\theta \right] = 0 \end{aligned} \quad \left. \right\} \quad (28)$$

$$\begin{aligned} y=a \text{ において } & 2B_1 \left\{ 1 + \left(\frac{d}{r}\right)^2 \cos 2\theta \right\} + \sum_{k=3,5}^K B_k \cdot kr^{-k-1} \left[2 \cos(k-1)\theta + (k-1) \cos(k-3)\theta - (k-2) \left(\frac{d}{r}\right)^2 \cos(k-3)\theta + \left(\frac{d}{r}\right)^2 \cos(k+1)\theta \right] \\ & + \sum_{k=1,3,5}^L b_k \cdot kr^{-(k+1)} \left[-2 \cos(k+1)\theta + (k+1) \cos(k+3)\theta - \left(\frac{d}{r}\right)^2 \cos(k-1)\theta - (k+2) \left(\frac{d}{r}\right)^2 \cos(k+3)\theta \right] = \lambda T \\ & - 2B_1 \left(\frac{d}{r}\right)^2 \sin 2\theta + \sum_{k=3,5}^K B_k \cdot kr^{k-1} \left[(k-1) \sin(k-3)\theta - (k-2) \left(\frac{d}{r}\right)^2 \sin(k-3)\theta - \left(\frac{d}{r}\right)^2 \sin(k+1)\theta \right] \\ & + \sum_{k=3,5}^L b_k \cdot kr^{-(k+1)} \left[-(k+1) \sin(k+3)\theta - \left(\frac{d}{r}\right)^2 \sin(k-1)\theta + (k+2) \left(\frac{d}{r}\right)^2 \sin(k+3)\theta \right] = 0 \end{aligned} \quad \left. \right\}$$

ここに, $r = d\rho$

(iv) 応力関数の係数の決定

$x=a$ および $y=a$ において 式(28)に連点法を適用して、図-6に示すように 6 個の点で連続的満足させた。したがって、各点で 2 回、全点で 12 個の条件式が成立するゆえ、未知数は B_3 , B_5 , B_7 , B_9 と b_3 , b_5 , b_7 , b_9 の 12 個となる。かくしてこれら 12 個の条件式を用いて 1 次連立方程

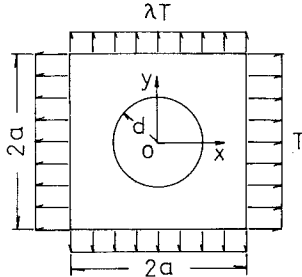


図-5 1 円孔をもつ正方形板

式を解いた結果を、 $\lambda = 1$ すなはち 2 方向等引張りの状態につき
孔径比 ($\mu = d/a$) をパラメーターとして表-1 に示す。

(v) 孔縁応力

孔縁においては $\sigma_p = \sigma_{p\theta} = 0$ であるのが生じ、これを σ_t と記せば、式(2)c の式より導かれた次式によつて算定される。

$$\sigma_t = (\sigma_\theta)_{p=1} = 4R_e [\Psi(2i)]_{p=1} \quad (29)$$

表-2 は、上記速度特性より決定される応力関数 $\Psi(2i)$ を式(29)に適用して求められた孔縁応力を、3 種の入に対し μ もパラメーターと

して示したもの

ので、表中、

(i) 内の値け

Schlack,

Little 由氏の

最小自乗法に

よる解³⁾であ

る。表に見了

ことく、本法

は μ の値、す

なむち荷重状

態の如何にか

かわらず、実

用上満足すべき解をもつており、有孔せりの解に対する十分な適用性を有するものと判断され得る。

孔縁応力は、 $\mu = 0$ すなはち無限板の場合入 =

1, 0, -1 の各値に対してそれぞれ 2, 3, 4 の最大応力集中係数値を示す。しかるに、本題のところき有限板の場合には、最大孔縁応力は、 $\lambda = 1$ のとき μ の増加にかかわらず、すなはち孔径が増しても絶対増大しないが、 $\lambda = 0, -1$ のときは μ の増加とともに応力に増大し、 $\lambda = -1$ の方が当然著しく現われている。

f. 結び

「エフ」に多数の孔をもつては、土木、建築、機械、造船、航空などの工学分野に多見される構造である、との理論的研究も多、認められ3)か、

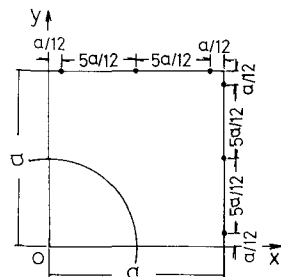


図-6 運点の位置

表-1 応力関数 $\Psi(2i)$ の係数 ($\lambda = 1$)

k	B_k				b_k			
	$\mu = 0.4$	$\mu = 0.5$	$\mu = 0.6$	$\mu = 0.7$	$\mu = 0.4$	$\mu = 0.5$	$\mu = 0.6$	$\mu = 0.7$
1	0.5849	0.6450	0.7397	0.8972	-0.1159 $\times 10^3$	-0.2712 $\times 10^3$	-0.8053 $\times 10^4$	-0.4114 $\times 10^8$
3	-0.1349 $\times 10^4$	-0.3190 $\times 10^7$	-0.7195 $\times 10^4$	-0.2565 $\times 10^3$	0.1479 $\times 10^3$	0.1062 $\times 10^2$	0.5438 $\times 10^2$	-0.2736 $\times 10^1$
5	0.9578 $\times 10^2$	0.1912 $\times 10^1$	0.3589 $\times 10^{-1}$	0.7686 $\times 10^{-1}$	-0.5010 $\times 10^6$	0.1217 $\times 10^{-2}$	0.5987 $\times 10^{-2}$	-0.8515 $\times 10^{-12}$
7	-0.6581 $\times 10^3$	-0.8930 $\times 10^{12}$	-0.2641 $\times 10^{-5}$	-0.1336 $\times 10^{-7}$	0.6461 $\times 10^6$	0.3697 $\times 10^6$	0.8911 $\times 10^5$	0.1720 $\times 10^3$
9	0.6587 $\times 10^3$	0.1691 $\times 10^2$	0.3535 $\times 10^2$	0.8782 $\times 10^2$	0.1226 $\times 10^9$	-0.2060 $\times 10^5$	-0.5859 $\times 10^4$	-0.1127 $\times 10^2$
11	0.6736 $\times 10^4$	-0.3387 $\times 10^1$	-0.5647 $\times 10^1$	-0.1416 $\times 10^6$	-0.6638 $\times 10^2$	-0.3629 $\times 10^7$	-0.4429 $\times 10^7$	-0.3432 $\times 10^5$

表-2 孔縁応力

(a) $\lambda = 1$

θ	σ_t / T			
	$\mu = 0.4$	$\mu = 0.5$	$\mu = 0.6$	$\mu = 0.7$
0°	2.278 (2.264)	2.398 (2.408)	2.537 (2.595)	2.536 (2.839)
10°	2.292 (2.281)	2.442 (2.450)	2.642 (2.694)	2.807 (3.078)
20°	2.328 (2.324)	2.551 (2.555)	2.899 (2.926)	3.471 (3.595)
30°	2.370 (2.371)	2.671 (2.667)	3.172 (3.156)	4.132 (4.027)
40°	2.399	2.747	3.335	4.472
45°	2.404 (2.406)	2.758 (2.746)	3.356 (3.304)	4.511 (4.240)

ほとんどのが円孔列⁴⁾に限定され、稀に精円孔列⁵⁾に関するものが見受けられたのみで、他の形状孔を考察したもののは皆無のようである。しかるに、本論文に示す複素変数法と逐点法併用による解法は、単にキャストレーテッド・ビームにとどまらず、円孔列、精円孔列を有するばかりやこれら諸形状孔の任意の組合せを有するばかりなども含め、一般任意形状孔を有するばかりに適用でき、さらに舟孔板の曲り内側にも応用可能な汎用解法であり、新型式の各種有孔ばかりや舟孔板の開発の理論的根拠を与えるものと確信する。

参考文献

1) M.D.Altfillish, B.R.Cooke, and

A.A.Toprac: An Investigation of Welded Open-Web Expanded Beams, Weld.Jour., Vol.22, No.2, Feb. 1957, pp.77-s-88-s.

2) J.Kolosowski: Stresses and Deflections in Castellated Beams, Struct.Eng., Vol.42, No.1, Jan. 1964, pp.19-24.

3) A.L.Schlack and R.W.Little:

Elastostatic Problem of a Perforated Square Plate, Proc.ASCE, Vol.90, No.EM5, Oct.1964, pp.171-187.

4) 代表的なものとして

R.C.J.Howland: Stresses in a Plate Containing an Infinite Row of Holes,

Proc.Roy.Soc.Lond., Ser.A, Vol.148, 1935, pp.471-491.

石田誠: 円孔列を有する無限板の二次元問題、日本機械学会論文集、第25巻、第159号、昭和34年11月、pp.1118-1124.

5) 西谷弘信: ガラス孔列を有する無限板の引張り、日本機械学会論文集、第29巻、第197号、昭和38年1月、pp.79-83.

(b) $\lambda = 0$

θ	σ_t/T			
	$\mu = 0.4$	$\mu = 0.5$	$\mu = 0.6$	$\mu = 0.7$
0°	-2.408	-4.089	-6.859	-13.29
10°	-2.167	-3.662	-6.099	-11.60
20°	-1.500	-2.517	-4.112	-7.163
30°	-0.5385	-0.9821	-1.639	-2.118
40°	0.5657	0.6312	0.6475	1.223
50°	1.690	2.189	2.687	3.249
60°	2.736	3.678	4.811	6.249
70°	3.605	5.011	7.011	10.63
80°	4.188	5.969	8.741	14.41
90°	4.395 (4.752)	6.320 (6.283)	9.396 (9.065)	15.82 (16.34)

(c) $\lambda = -1$

θ	σ_t/T			
	$\mu = 0.4$	$\mu = 0.5$	$\mu = 0.6$	$\mu = 0.7$
0°	-7.037 (-7.240)	-10.61 (-10.16)	-16.26 (-15.53)	-29.11 (-29.84)
10°	-6.571 (-6.782)	-9.793 (-9.452)	-15.10 (-14.27)	-26.01 (-26.56)
20°	-5.278 (-5.484)	-7.590 (-7.513)	-11.12 (-10.97)	-17.80 (-18.79)
30°	-3.408 (-3.547)	-4.620 (-4.761)	-6.450 (-6.658)	-8.367 (-10.36)
40°	-1.244	-1.465	-2.040	-2.026
45°	(0)	(0)	(0)	(0)